

TEPELNÁ A MECHANICKÁ ZATÍŽENÍ

Ing. Kamila Horová

Prof. Ing. František Wald, CSc.

Doc. Ing. Magdaléna Štujberová

ČSN EN 1991-1-2

- Popisuje tepelné a mechanické zatížení pro navrhování pozemních staveb vystavěných účinkům požáru
- Nahrazuje ČSN P ENV 1991-2-2:1997
- Obsahuje národní přílohu
- Použití s částmi prEN 1992 až prEN 1996 a prEN 1999

Národní příloha k ČSN EN 1991-1-2

- Určuje národně stanovené parametry platné na území ČR
- V odstavci 2.10 doporučuje použití součinitelů kombinací zatížení

1

2

Zatížení při požární situaci

- ✓ **tepelné**
 - využívá množství hořlavých látek v PÚ
 - ovlivňuje rozvoj teploty v požárním úseku
 - v jeho důsledku dochází k ohřívání konstrukce a ke změnám mechanických vlastností materiálu (tepelná odezva konstrukce)

Požární zatížení

Fáze přirozeného požáru a normová požární křivka

Teplota



Po vzplanutí
1000-1200°C

Vzplanutí

Iniciace

Doutnání

Rozvoj

Chladnutí

Tepelné zatížení

3

✓ mechanické □ přímé zatížení

- „standardní zatížení“ (stálé, proměnné)
 - používá se mimořádná návrhová kombinace zatížení podle ČSN EN 1990 (použití kvazistále nebo časté hodnoty lze stanovit podle NP)
- **nepřímé zatížení**
 - využívané teplotní rozařností prvků

4

Zjednodušené modely

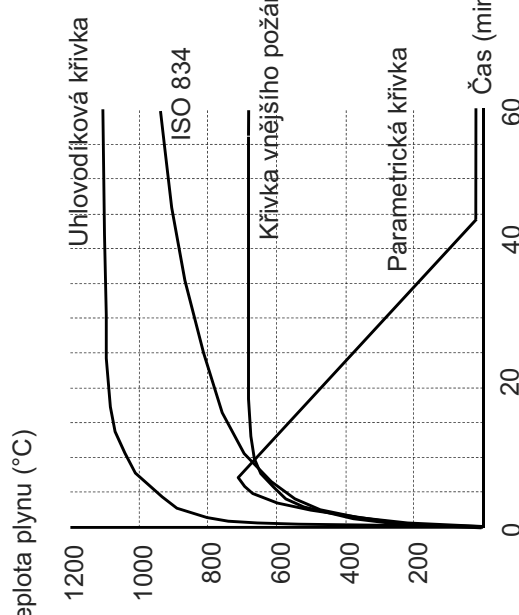
- ⇒ **nominální teplotní křivky**
 - ✓ normová teplotní křivka
 - ✓ křivka vnějšího požáru
 - ✓ uhlovodíková křivka
- ⇒ **parametrická teplotní křivka**

Zdokonalené modely ⇒ lokální požár

- ⇒ jednozónový model
- ⇒ dvouzónový model
- ⇒ dynamický model

5

Křivky požáru podle ČSN EN 1991-1-2



7

Modely požáru v ČSN EN 1991-1-2

Nominální teplotní křivky

- založené na zkouškách v pecích
- nejjednodušší a málo přesné, někdy konzervativní
- neberou v úvahu průběh požáru v konkrétních požárních úsevcích vzhledem k požárnímu zařízení
- nepočítají žádné vstupní parametry
- nezahrnují fázi ochlazování

normová křivka

pro modelování phé rozvinutého požáru

pro obvodové stěny zasažené požárem z vnější strany fasády

pro klasifikaci konstrukcí

$$\theta_g = 20 + 345 \log_{10} (8 t + 1)$$

teplotní křivka vnějšího požáru

pro obvodové stěny zasažené požárem z vnější strany fasády

$$\theta_g = 20 + 660 \left(1 - 0,687 e^{-0,32 t} - 0,313 e^{-0,38 t} \right)$$

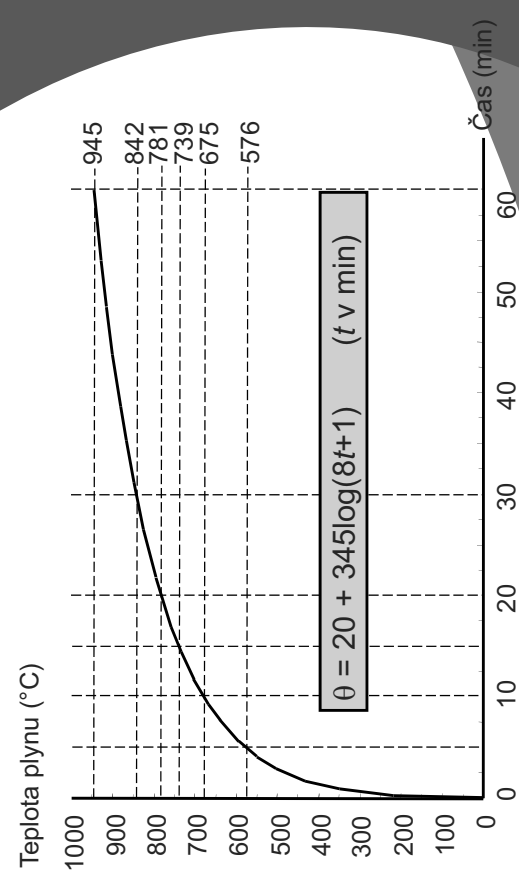
uhlovodíková teplotní křivka

pro požáry kapalných láttek a paliv

$$\theta_g = 20 + 1080 \left(1 - 0,325 e^{-0,167 t} - 0,675 e^{-2,5 t} \right)$$

6

Normová teplotní křivka (ISO 834)

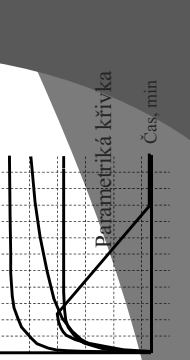


8

Parametrická teplotní křivka

Metoda stanovení teploty ve fázi ohřívání i chladnutí

- v příloze A ČSN EN 1991-1-2
 - odvozena na základě měření při cca 100 experimentálních požáru
 - omezena na požární úseky do 500 m² podlahové plochy
 - otvory pouze ve stěnách, součinitel otvoru v rozmezí 0,02 až 0,2
 - nejsou otvory ve stropě
 - maximální výška požárního úseku 4 m
 - pro přiměřené množství a běžné hořavé materiálů $q_{i,d}$ v rozmezí 50 až 1000 MJ/m² (od 3,5 do 70 kg dřeva na m²)
 - tepeiné charakteristiky obvodových konstrukcí v rozmezí 100 až 2200 J/m² s^{1/2}K
 - fáze ohřívání: exponenciální křivka
 - fáze chladnutí: lineární pokles teploty



9

Parametrická teplotní křivka

Vstupní parametry

- hustota požárního zatížení
- rychlosť rozvoje požáru (malá, střední, velká)
- počet a velikost otvorů
- rozměry požárního úseku
- tepelné vlastnosti obvodových konstrukcí, tj. stěn, stropu a podlahy

Křivka ve fázi ohřevu

$$\theta_{g,t} = 20 + 1325 \left(1 - 0,324 e^{-0,2t^*} - 0,204 e^{-1,7t^*} - 0,472 e^{-19t^*} \right)$$

10

Parametrická teplotní křivka

Parametrická teplotní křivka

tabulka výhřevnosti některých materiálů v příloze E normy ČSN EN 1991-1-2

| Pevné látky | H _u MJ/kg |
|------------------------------|----------------------|
| Dřevo | 17,5 |
| Ostatní celulózové materiály | 20 |
| ▪ odvý | |
| ▪ korek | |
| ▪ bavlna | |
| Chemicické látky | |
| Aromatické uhlíkovodíky | 40 |
| ▪ benzen | |
| ▪ toluen | |
| Ostatní materiály | |
| Polyester (plast) | 30 |
| Kůže | 20 |
| Pneumatiky | 30 |

výhř. z tabulky E3, ČSN EN 1991-1-2

11

Parametrická teplotní křivka

Hustota požárního zatížení

- postup podle ČSN EN 1991-1-2, Příloha E
- určuje se pro celý požární úsek (výpočet, dle klasifikace provozu)
- hořavé materiály tvořící konstrukci (podlahy, okenní rámy, nosné prvky, ...)
- „obsah“ budovy (nábytek, skladovaný materiál, ...)

$$q_{f,k} = Q_{f,i,k} / A_f \quad [\text{MJ/m}^2]$$

plocha podlahy požárního úseku

$$Q_{f,i,k} = \sum (M_{k,i} \cdot H_{ui} \cdot \psi_i) = \Sigma Q_{f,i,k,i} \quad [\text{MJ}]$$

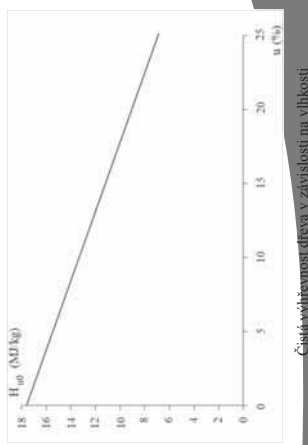
součinitel pro chráněné požární zatížení
čistá výhřevnost [MJ/kg]
množství hořavého materiálu [kg]

12

Parametrická teplotní křivka

Vliv vlhkosti

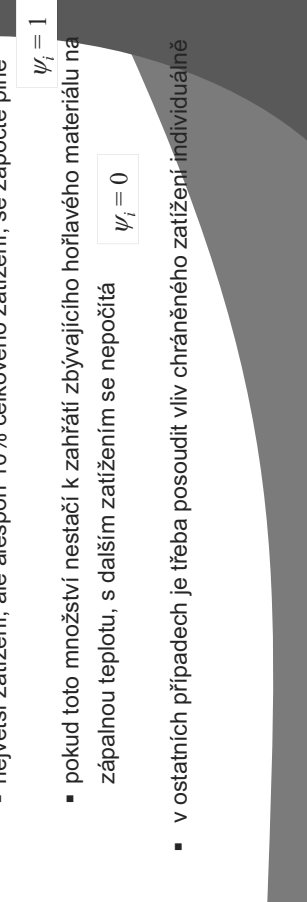
- udává se výhřevnost suchých hořlavých materiálů
 - vlhkost lze zohlednit podle vztahu
- $$H_u = H_{u0} (1 - 0,01 u) - 0,025 u$$
- H_{u0} je čistá výhřevnost suchého materiálu
 - u je vlhkost v procentech suché hmotnosti



Parametrická teplotní křivka

Chráněné požární zatížení

- pokud je požární zatížení uzavřeno v obalech (kontejnerech, ...) se zaručenou požární odolností větší než je doba, po kterou bude vystaveno požáru, potom není třeba s ním počítat
- $\psi_i = 0$
- pokud je požární zatížení uzavřeno v nehořlavých obalech, u kterých není deklarována jejich požární odolnost, ale které nebudu požárem poškozeny, postupuje se následovně:
 - nejvýše zatížení, ale alespoň 10% celkového zatížení, se započte plně
 - pokud toto množství nestačí k zahřátí zbyvajícího hořlavého materiálu na zápalnou teplotu, s dalším zatížením se nepočítá
 - v ostatních případech je třeba posoudit vliv chráněného zatížení individuálně



Parametrická teplotní křivka

Hustota požárního zatížení podle klasifikace provozu

$$\text{Hustota požárního zatížení } q_{f,k} [\text{MJ/m}^2]$$

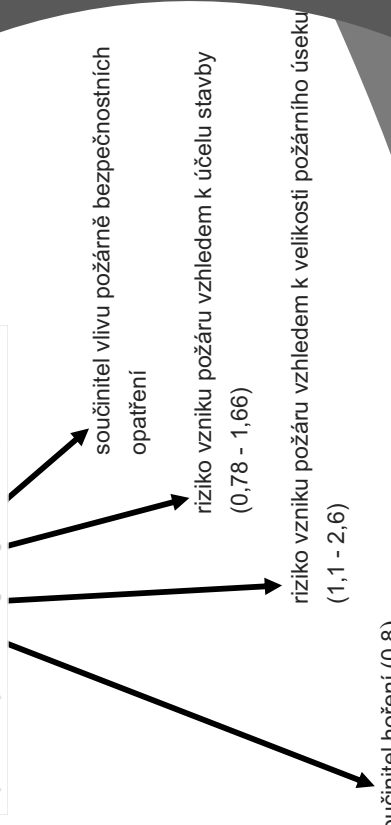
| Provoz | Průměr | 80% kvantil |
|----------------------------------|--------|-------------|
| byty | 780 | 948 |
| nemocnice (pokoje) | 230 | 280 |
| hotely (pokoje) | 310 | 377 |
| knihovny | 1500 | 1824 |
| kanceláře | 420 | 511 |
| školní třídy | 285 | 347 |
| nákupní centrum | 600 | 730 |
| divadla (kina) | 300 | 365 |
| doprava (prostory pro veřejnost) | 100 | 122 |

Nezahrnuje stálé zatížení: konstrukční prvky, obklady, okna - dvere...

Parametrická teplotní křivka

Parametrická teplotní křivka

$$q_{f,d} = q_{f,k} m \delta_{q1} \delta_{q2} \delta_n [\text{MJ/m}^2]$$

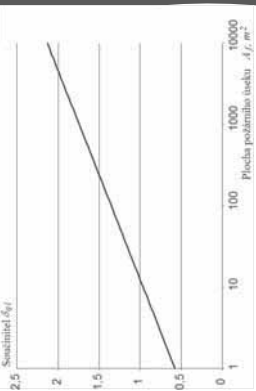


Parametrická teplotní křivka

Součinitel δ_q

Riziko vzniku požáru vzhledem k velikosti požárního úseku

$$\delta_{q_f} = 0,16881 \ln(A_f) + 0,5752$$



Riziko vzniku požáru vzhledem k účelu stavby

Součinitel δ_{q2}

- 0,78 Umělecké galerie, muzea, bazény
- 1,00 Kanceláře, byty, hotely, papírenský průmysl
- 1,22 Výroba strojů a motorů
- 1,44 Chemické laboratoře, lakovny
- 1,66 Výroba zábavné pyrotechniky, barev

Parametrická teplotní křivka

Součinitel δ_n

Vliv požárně bezpečnostních opatření

$$\delta_n = \prod \delta_{n,i} = \delta_{n,1} \cdot \delta_{n,2} \cdots \delta_{n,10}$$

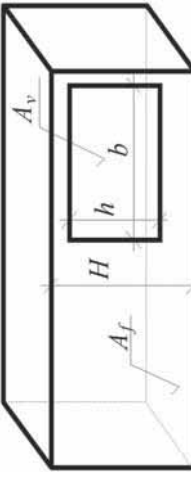
| Samočinné hasicí zařízení | | Samočinné požární hlášice | | | Manuální hašení požáru | | |
|--|------------------------|--|--|--------------------------|------------------------------------|-----------------------------|--|
| Samočinné vodní hasicí zařízení (sprinklyry) | Nezávislé vodní zdroje | Samočinné požární a poplachové hlášice | Samočinný přenos poplachu k požární jednotce | Závodní požární jednotka | Externí (veřejná) požární jednotka | Technické hasicí prostředky | Zatištění pro odvod kouře |
| | | | | | | | |
| | | 1 2 3 lepené kouřové | | | | | |
| | | $\delta_{n,1}$ | $\delta_{n,2}$ | $\delta_{n,3}$ | $\delta_{n,4}$ | $\delta_{n,5}$ | $\delta_{n,6}$ |
| | | 0,61 | 1,0 0,87 0,7 | 0,87 | 0,73 | 0,87 | 0,61 |
| | | | | | | 0,78 | 0,9 [*] nebo 1,0 [*] nebo 1,5 [*] |
| | | | | | | | $\delta_{n,7}$ |
| | | | | | | | $\delta_{n,8}$ |
| | | | | | | | $\delta_{n,9}$ |
| | | | | | | | $\delta_{n,10}$ |

* pokud jsou schodiště přetlakově větrána
+ pro běžná protipožární opatření se bere hodnota 1,0
pokud nejsou, bere se 1,5

Parametrická teplotní křivka

Součinitel otvorů

$$O = \frac{\sum A_v}{A_t} \sqrt{h_{eq}} \quad [m^{1/2}]$$

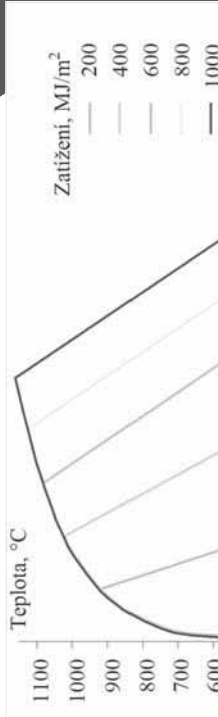


A_v plocha otvoru
 A_t plocha všech povrchů v požárním úseku
 h_{eq} výška otvoru
 pokud je více otvorů s rozdílnou výškou,
 použije se její vážený průměr

$$h_{eq} = \frac{\sum A_v \cdot h}{\sum A_v}$$

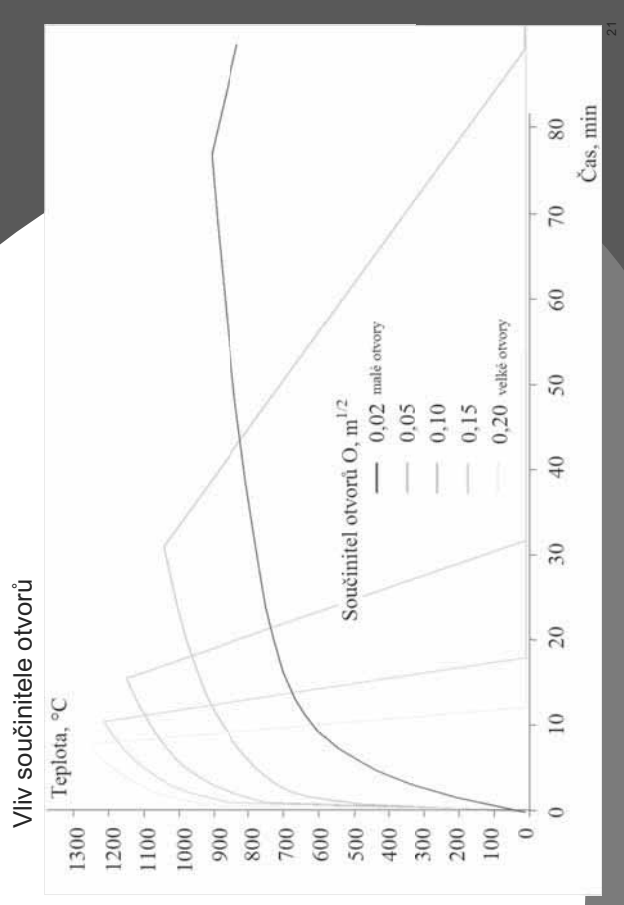
Parametrická teplotní křivka

Součinitel otvorů

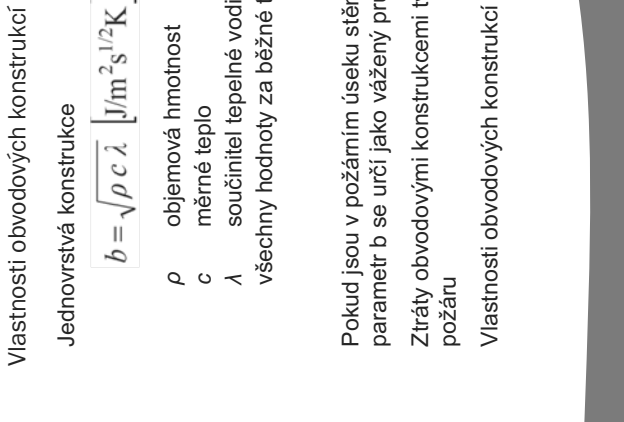


Vliv velikosti požárního zatížení

Parametrická teplotní křivka



Parametrická teplotní křivka



Pokud jsou v požárním úseku stěny z různých materiálů, výsledny parametr b se určí jako vážený průměr

Ztráty obvodovými konstrukcemi tvoří cca 10-30% energie uvolněné při požáru

Vlastnosti obvodových konstrukcí ovlivňují průběh teploty (akumulace)

Parametrická teplotní křivka

Vlastnosti ohraňujících konstrukcí

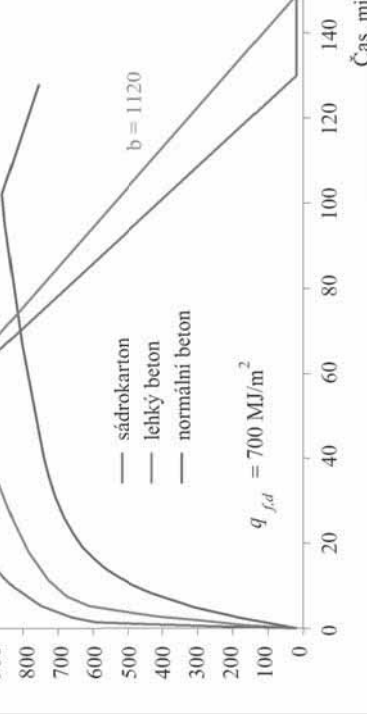
Dvourstvá konstrukce

$$\text{pokud je } h_1 < b_2 \quad \text{potom} \quad b = b_1$$
$$\text{pokud je } h_1 > b_2 \quad \text{potom se určí limitní tloušťka}$$

$$S_{lim} = \sqrt{\frac{3600 t_{max} \lambda_1}{c_1 P_1}}$$

pokud je $s_1 > s_{lim}$ potom $b = b_1$

pokud je $s_1 < s_{lim}$ potom $b = \frac{s_1}{s_{lim}} b_1 + \left(1 - \frac{s_1}{s_{lim}}\right) b_2$



VSTVA 1
VSTVA 2

Parametrická teplotní křivka

Čas pro maximální teplotu

Požár řízený palivem $t_{max,f} = t_{lim}$

kde $t_{lim} = 25 \text{ min} = 0,417 \text{ hod}$ pro malou rychlosť rozvoje požáru
 $t_{lim} = 20 \text{ min} = 0,333 \text{ hod}$ pro střední rychlosť rozvoje
 $t_{lim} = 15 \text{ min} = 0,250 \text{ hod}$ pro velkou rychlosť rozvoje

Požár řízený ventilací

$$t_{max} = \frac{0,2 \cdot 10^{-3}}{O} q_{f,d}$$

kde $q_{f,d}$ je hustota požárního zatížení rozpočtená na celkovou plochu povrchů požárního úseku
 O je součinitel otvorů

Rozhoduje větší hodnota t_{max}

$$t_{max} = \max(t_{max,f}, t_{max,v})$$

Parametrická teplotní křivka

Fáze ohřívání - křivka řízená ventilací

Parametr Γ

$$\Gamma = \frac{\left(\frac{O}{O_{ref}} \right)^2}{\left(\frac{b}{b_{ref}} \right)^2}$$

upravuje čas t na čas t^* , pozor, dosazuje se v hodinách

$$t^* = \Gamma t \quad [\text{hod}]$$

křivka ve fázi ohřívání

$$\theta_{g,f} = 20 + 1325 \left(1 - 0,324 e^{-0,2t^*} - 0,204 e^{-1,7t^*} - 0,472 e^{-19t^*} \right)$$

platí až do času t^*_{max}

$$t^*_{max} = \Gamma t_{max}$$

Parametrická teplotní křivka

Fáze ohřívání - křivka řízená palivem

Upravený součinitel otvorů

$$O_{lim} = \frac{0,1 \cdot 10^{-3}}{t_{lim}} q_{f,d}$$

Parametr Γ_{lim}

$$\Gamma_{lim} = \frac{\left(\frac{O_{lim}}{O_{ref}} \right)^2}{\left(\frac{b}{b_{ref}} \right)^2}$$

pokud platí $O > 0,04$ a $q_{f,d} < 75 \text{ MJ/m}^2$ a $b < 1160 \text{ J/m}^{1,2} \text{ K}$ (současně),

velké otvory,
malá hustota požárního
zatížení,
malá tepelná kapacita ušen

potom se parametr Γ_{lim} přenásobí součinitelem k

$$k = 1 - \left(\frac{O - 0,04}{0,04} \right) \left(\frac{q_{f,d} - 75}{75} \right) \left(\frac{1160 - b}{b} \right)$$

křivka ve fázi ohřívání

$$\theta_{g,f} = 20 + 1325 \left(1 - 0,324 e^{-0,2t^*} - 0,204 e^{-1,7t^*} - 0,472 e^{-19t^*} \right)$$

platí až do času t^*_{max}

$$t^*_{max} = \Gamma_{lim} t_{max}$$

Parametrická teplotní křivka

Fáze ohřívání - křivka řízená ventilací

Parametr Γ

$$t^* = \Gamma t \quad [\text{hod}]$$

pozor, čas v hodinách upravený parametrem Γ

- pro $\Gamma > 1$ vychází teplota vyšší než podle normové křivky,
- pro $\Gamma < 1$ teplota nižší než podle normové křivky,
- pro $\Gamma = 1$ je teplota přibližně stejná jako teplota podle normové křivky

- ve fázi ohřívání stejný vzorec pro požár řízený ventilaci i palivem, ale mění se parametr Γ (pro požár řízený palivem se snižuje parametr Γ a prodlužuje se doba dosažení maximální teploty t_{max})

Parametrická teplotní křivka

Parametrická křivka - fáze chladnutí

Rychlosť chladnutí závisí na délce doby ohřívání:

- pro „krátkou“ dobu fáze ohřívání $t^*_{max} \leq 0,5$ hod

$$\theta_{g,t} = \theta_{max} - 625(t^* - t^*_{max})$$

- pro „střední“ dobu fáze ohřívání $0,5$ hod $< t^*_{max} < 2,0$ hod

$$\theta_{g,t} = \theta_{max} - 250(3 - t^*_{max})(t^* - t^*_{max})$$

- pro „dlouhou“ dobu fáze ohřívání $2,0$ hod $\leq t^*_{max}$

$$\theta_{g,t} = \theta_{max} - 250(t^* - t^*_{max})$$

θ_{max} maximální dosažená teplota ve fázi ohřívání
požár řízený ventilaci $t^* = \Gamma l$ $t^*_{max} = \Gamma l_{max}$
požár řízený palivem $t^* = \Gamma l$ $t^*_{max} = \Gamma l_{lim}$

rychlosť chladnutí závisí na
vlastnostech požárního úseku
(b, O)

30

Lokální požár

Lokální požár



Plně rozvinutý požár

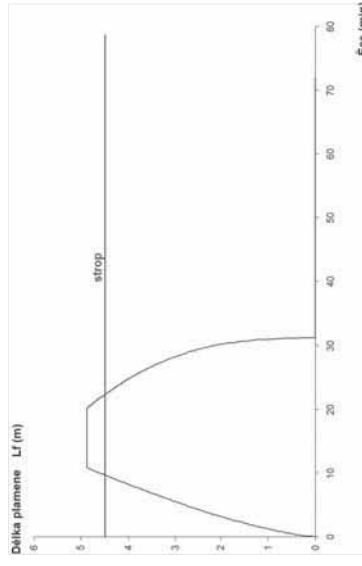


Použije se tam, kde:

- je velký požární úsek s poměrně malým požárním zatížením, tzn. nedochází ke vzplanutí a přechodu do plně rozvinutého požáru
- ve velkých prostorách nebo na volném prostranství, kde nevznikne dostatečně vysoká teplota pro vzplanutí

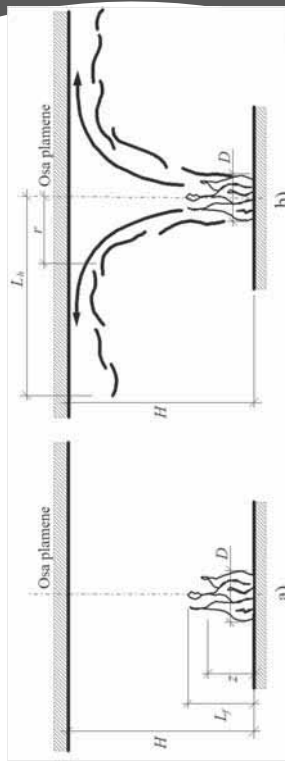
- tam, kde je rozmisťen požárního zatížení takové, že se požár nešíří

Lokální požár



Délka plamene

Plamen dosahuje
ke stropu



Modely lokálního požáru

ČSN EN 1991-1-2, příloha C

Plamen nedosahuje
ke stropu

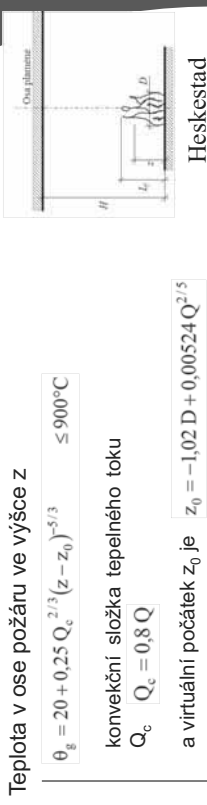
Lokální požár

Plně rozvinutý požár

$$L_f = -1,02 D + 0,0148 Q^{2/5}$$

Lokální požár

Plamen nedosahuje ke stropu



Teplní tok dopadající na ocelový prvek

$$h_{net,c} = \alpha_c (\theta_g - \theta_a)$$

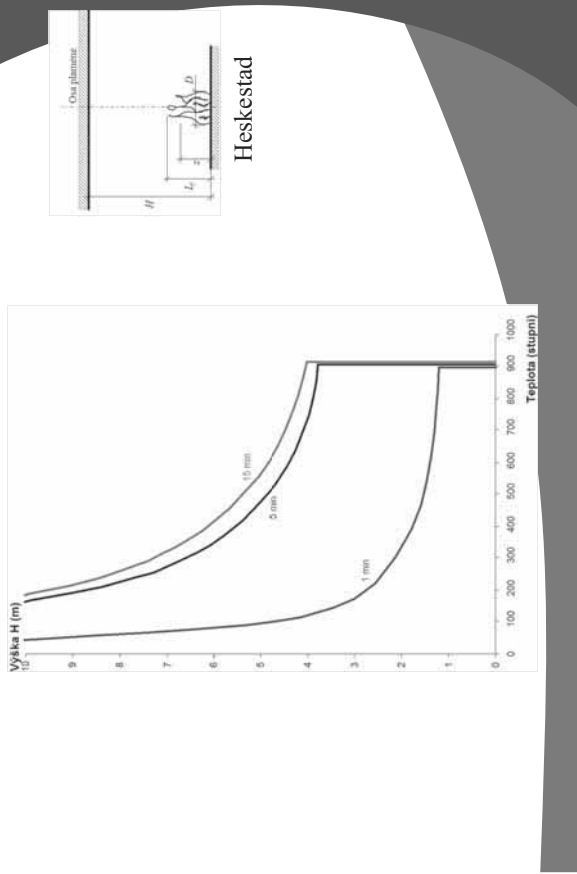
$$h_{net,r} = \Phi \varepsilon_m \varepsilon_r \sigma ((\theta_r + 273)^4 - (\theta_m + 273)^4)$$

Celkový teplní tok

$$h_{net} = h_{net,c} + h_{net,r}$$

Lokální požár

Teplota po výšce plamene



Lokální požár

Plamen dosahuje ke stropu

Teplní tok dopadající na ocelový prvek se použije přímo pro výpočet teploty ocelových prvků (přírůstková metoda)

$$\dot{h} = 100\,000 \text{ W m}^{-2} \quad \text{pro } y \leq 0,3$$

$$\dot{h} = 136\,300 - 121\,000 y \text{ W m}^{-2} \quad \text{pro } 0,3 < y \leq 1,0$$

$$\dot{h} = 15\,000 y^{-3,7} \text{ W m}^{-2} \quad \text{pro } 1,0 < y$$

poměrná vzdálenost y

$$y' = \frac{r + H + z'}{L_h + H + z'}$$

$$L_h = 2,9 H (Q^*_H)^{0,33} - H$$

vodorovná délka plamene L_h

$$z' = 2,4 D \left(Q_D^{*2/5} - Q_D^{*2/3} \right) \quad \text{pro } Q_D^* < 1,0$$

$$z' = 2,4 D \left(1,00 - Q_D^{*2/5} \right) \quad \text{pro } Q_D^* \geq 1,0$$

$$\begin{aligned} \text{Celkový teplní tok} \\ \dot{h}_{int} = \dot{h} \cdot \alpha_c (\theta_m - 20) - \Phi \varepsilon_m \varepsilon_r \sigma [(y_m + 273)^4 - 293^4] \end{aligned}$$

ztrátý sáláním

tepelný zisk

ztrátý prouděním

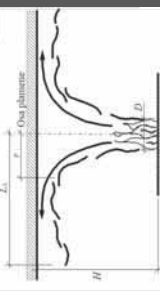
Lokální požár

Plamen dosahuje ke stropu

Teplní tok dopadající na ocelový prvek

$$\begin{aligned} \dot{h} = 100\,000 \text{ W m}^{-2} &\quad \text{pro } y \leq 0,3 \\ \dot{h} = 136\,300 - 121\,000 y \text{ W m}^{-2} &\quad \text{pro } 0,3 < y \leq 1,0 \\ \dot{h} = 15\,000 y^{-3,7} \text{ W m}^{-2} &\quad \text{pro } 1,0 < y \end{aligned}$$

Hasemi



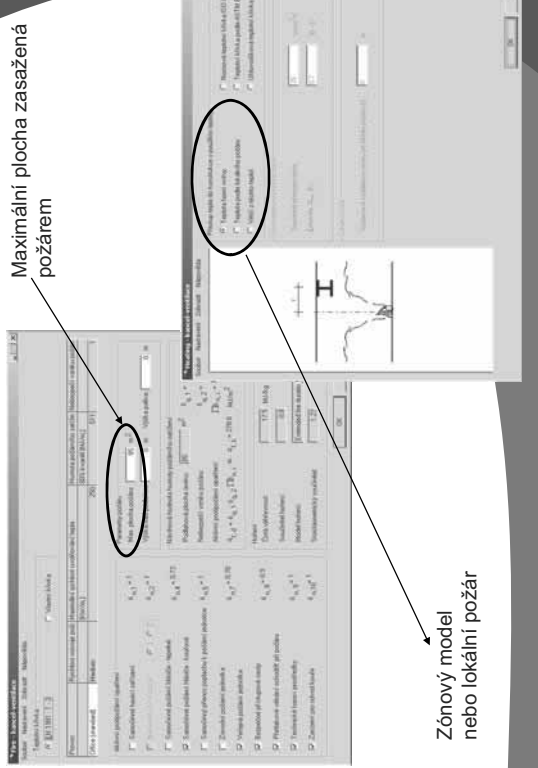
Hasemi

Heskestad

Heskestad

Lokální požár

Usnadnění výpočtu Program Ozone

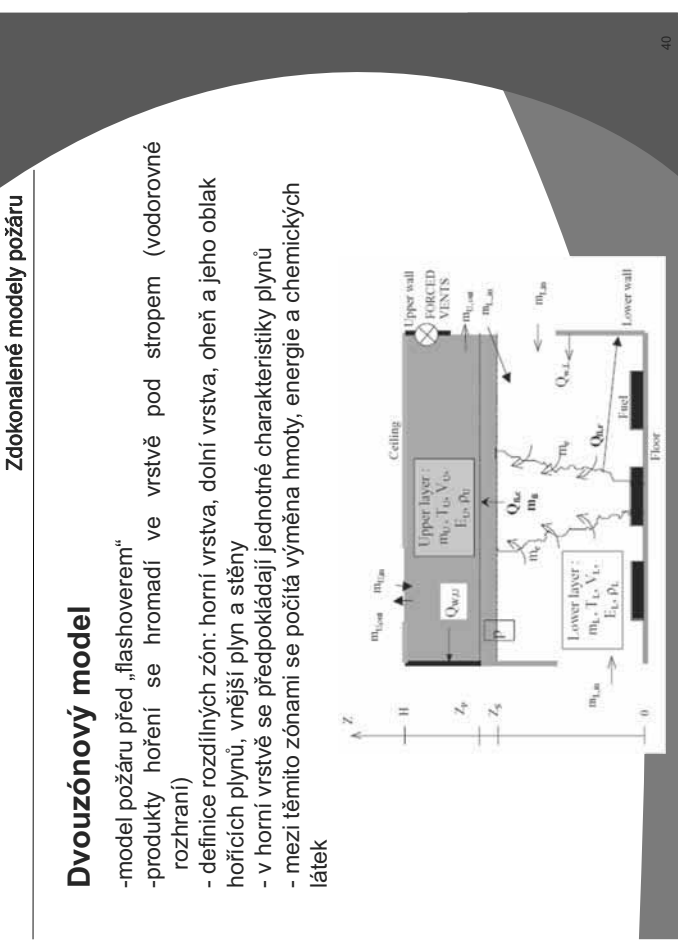


Zdokonalené modely požáru

Zónové modely

založeny na řešení diferenciálních rovnic:

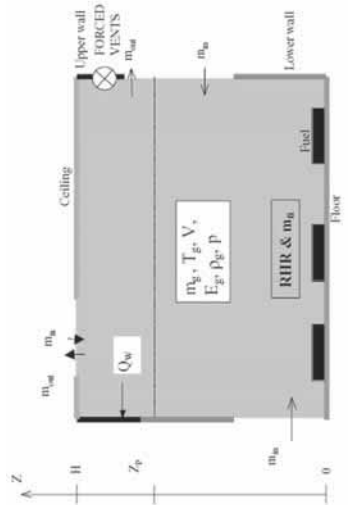
- **zachování hmoty:**
 - vzduch vstupující do místnosti okny nebo nucenou ventilací
 - plyny vznikající při hoření
 - vzduch unikající z místnosti okny nebo nucenou ventilací
 - podle množství kyslíku se upravuje průběh hoření
- **zachování energie:**
 - energie uvolňující se při hoření
 - energie potřebná na ohřátí plyňů v místnosti
 - energie potřebná na ohřátí stěn a stropů
 - energie potřebná na ohřátí hořlavých materiálů na zápalnou teplotu (zpravidla se zanedbává)
 - energie obsažená v plynech unikajících z požárního úseku
 - energie vyzářená okny
 - výměna energie mezi vrstvami, rozhraní mezi vrstvami



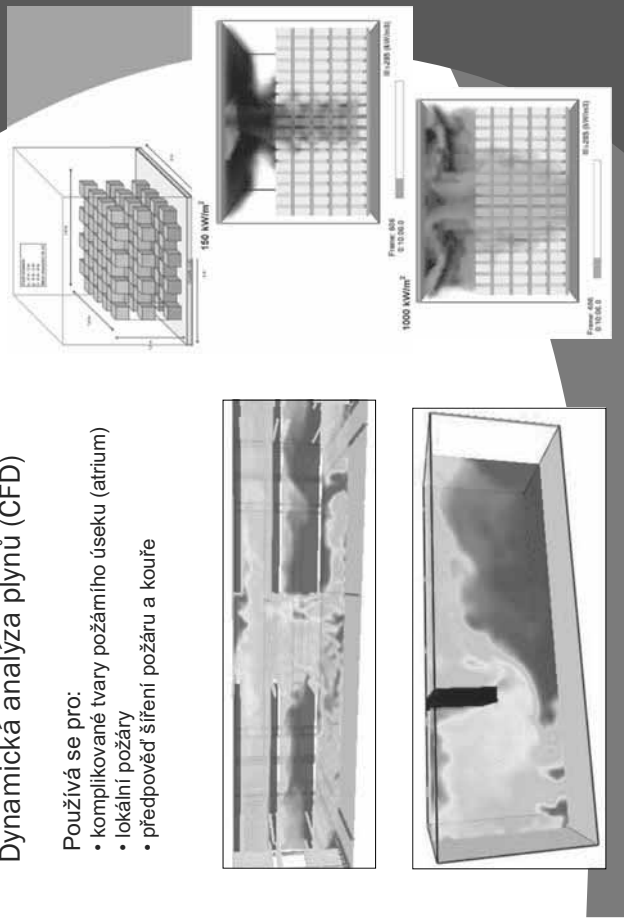
Zdokonalené modely požáru

Jednozázonový požár

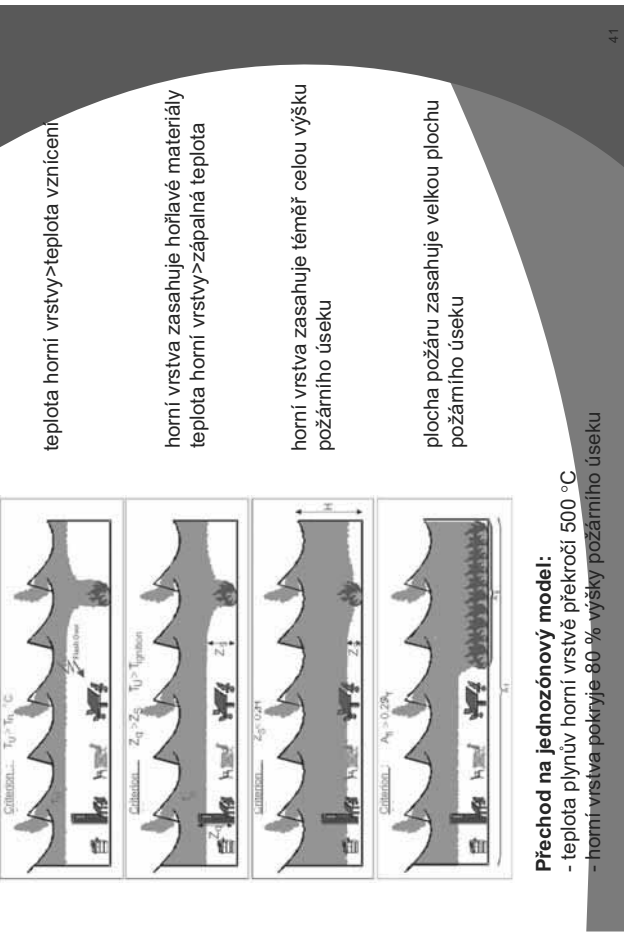
- pro podmínky po „flashoveru“
- předpokládá se rovnoměrná teplota, hustota, vnitřní energie a tlak plynu



Zdokonalené modely požáru



Zdokonalené modely požáru



Požární zatížení

Tepelné namáhání nosných prvků

- čistý tepelný tok (množství tepelné energie dopadající na povrch prvku)

Složky čistého tepelného toku

- proudění (konvekce) – míchání molekul hmoty s různou teplotou (kvapaliny nebo plyny)
- sálání (radiace) - elektromagnetické vlnění délky 760 - 4000 nm

$$h_{net} = h_{net,c} + h_{net,r} \quad [\text{W m}^{-2}]$$

Přestup tepla prouděním

Složka proudění na jednotku plochy [W/m^2] se stanoví ze vztahu

$$h_{net,c} = \alpha_c (\theta_g - \theta_m)$$

kde

α_c je součinitel přestupu tepla prouděním

- $\alpha_c = 25 \text{ W/m}^2\text{K}$ při použití normové teplotní křivky
- $\alpha_c = 35 \text{ W/m}^2\text{K}$ při použití parametrické teplotní křivky
- $\alpha_c = 50 \text{ W/m}^2\text{K}$ při použití uhlovodíkové teplotní křivky
- $\alpha_c = 35 \text{ W/m}^2\text{K}$ při použití zónových modelů, modelu lokálního požáru

θ_g je teplota plynů v okolí prvku [$^{\circ}\text{C}$]
 θ_m povrchová teplota prvku [$^{\circ}\text{C}$]

Čistý tepelný tok

Složka proudění na jednotku plochy [W/m^2] se stanoví ze vztahu

$$h_{net,c} = \alpha_c (\theta_g - \theta_m)$$

kde

α_c je součinitel přestupu tepla prouděním

- $\alpha_c = 25 \text{ W/m}^2\text{K}$ při použití normové teplotní křivky
- $\alpha_c = 35 \text{ W/m}^2\text{K}$ při použití parametrické teplotní křivky
- $\alpha_c = 50 \text{ W/m}^2\text{K}$ při použití uhlovodíkové teplotní křivky
- $\alpha_c = 35 \text{ W/m}^2\text{K}$ při použití zónových modelů, modelu lokálního požáru

θ_g je teplota plynů v okolí prvku [$^{\circ}\text{C}$]
 θ_m povrchová teplota prvku [$^{\circ}\text{C}$]

Čistý tepelný tok

Přestup tepla sáláním

Složka sálání na jednotku plochy [W/m^2] se stanoví ze vztahu

$$h_{net,r} = \phi \cdot \varepsilon_{res} \cdot 5,67 \cdot 10^{-8} \left[(\theta_r + 273)^4 - (\theta_m + 273)^4 \right]$$

kde

ϕ je polohový faktor

zpravidla $\phi = 1,0$ - konzervativní

pro plně rozvinutý požár vždy $\phi = 1,0$

$$\varepsilon_m = 0,8$$

$$\varepsilon_f = 1,0$$

ε_{res} výsledná emisita ($\varepsilon_m \cdot \varepsilon_f$)

θ_r sálavá teplota okoli prvku [$^{\circ}\text{C}$], lze ji považovat za rovnou teplotu plynu θ_g

θ_m povrchová teplota prvku [$^{\circ}\text{C}$]

$5,67 \cdot 10^{-8}$ Stefan-Boltzmannova konstanta [$W/(m^2 K^4)$]

46

Mechanické zatížení při požáru

Mechanické zatížení

- ✓ přímé
- ✓ nepřímé

Mimořádná kombinace zatížení

$$\sum_{l \geq l} \gamma_{G,l} G_l + \gamma_{P,l} P_l + \gamma_{A,l} A_d + \gamma_{Q,l} Q_{k,l} + \sum_{i > l} \psi_{2,i} \gamma_{Q,l}$$

složky zatížení

G_k charakteristická hodnota stálého zatížení,
 P_k charakteristická hodnota předpětí,
 A_d návrhová hodnota mimořádného zatížení,
 $Q_{k,l}$ charakteristická hodnota dominantního nahodilého zatížení
 $Q_{k,l}$ charakteristické hodnoty ostatních nahodilých zatížení
dilčí součinete spolehlivosti při mimořádné kombinaci zatížení

γ_{GA} pro stálé zatížení,

γ_{PA} pro předpětí,

$\gamma_{Q,l}$ pro nahodilé zatížení,
 $\psi_{1,l}, \psi_{2,l}$ kombinační součinitele – dle NP

Mechanické zatížení při požáru

Zjednodušené pravidlo

Redukční součinitel zatížení

- Při modelování částí konstrukce nebo jednotlivých konstrukčních prvků se mohou zjednodušené podporové reakce, vnitřní síly a momenty na vybrané části konstrukce vypočítat v čase $t = 0$ z globální analýzy celé konstrukce a potom upravit podle vztahu

$$E_{fi,d} = \eta_{fi} E_d$$

kde

- E_d je návrhová hodnota příslušné vnitřní síly/momentu určená pro běžnou teplotu a základní kombinaci zatížení, $\psi_{1,1} = 0,5$ nebo kvazistálá hodnota zatížení $\psi_{2,1} = 0,3$
- η_{fi} je redukční součinitel stálého zatížení a pro obecné hodiny

Mechanické zatížení při požáru

Mechanické zatížení při požáru

Redukční součinitel zatížení

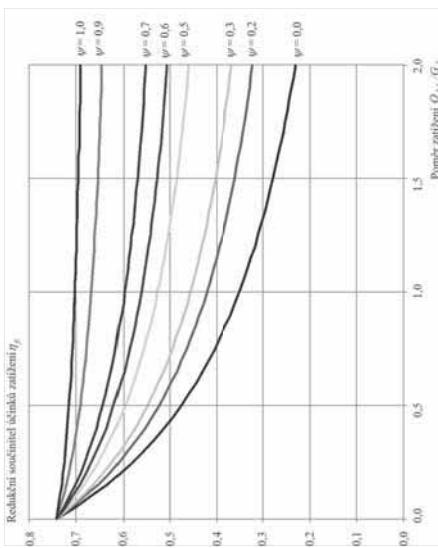
$$\eta_{fi} = \frac{\gamma_{GA} G_k + \gamma_{Q,l} Q_{k,l}}{\gamma_G G_k + \gamma_{Q,l} Q_{k,l}}$$

kde

- G_k je součet stálých zatížení,
- $Q_{k,1}$ dominantní nahodilé zatížení,
- $\gamma_{GA} = 1,0$ dilčí součinatel stálého zatížení pro mimořádnou návrhovou situaci;
- $\gamma_{Q,l}$ součinatel kombinace (častá hodnota zatížení, $\psi_{1,1} = 0,5$)
nebo kvazistálá hodnota zatížení $\psi_{2,1} = 0,3$)
- $\gamma_G = 1,35$ dilčí součinatel stálého zatížení a pro obecné hodiny
- $\gamma_{Q,l} = 1,5$ dilčí součinatel nahodilého zatížení.

Mechanické zatížení při požáru

Redukční součinitel η_{fi}



- Redukce zatížení je jednou z rezerv konstrukce při požáru.
V kombinaci zatížení je vyjádřena redukčním součinitelem η_{fi}

Děkuji za pozornost